

ПРОЕКТИРОВАНИЕ ВОЛНОВОЙ ФУНКЦИИ ${}^7\text{Li}$ В $\{(dn)\alpha\}$ - И $\{(ad)n\}$ -МОДЕЛЯХ НА КЛАСТЕРНЫЙ КАНАЛ ${}^6\text{Li}\{ad\}+n$

Н.В. Афанасьева, Н.А. Буркова, К.А. Жаксыбекова, А.А. Уразалин
Казахский национальный университет им. аль-Фараби, НИИЭТФ, Алматы

В рамках трехтельной αdn -модели ядра ${}^7\text{Li}$ построены волновые функции относительного движения и рассчитаны спектроскопические S_n -факторы отделения нейтронов в канале ${}^6\text{Li}+n$.

В настоящей работе, главным образом, представляет интерес выявить ${}^6\text{Li}+n$ -компоненту в трехчастичных $\{(dn)\alpha\}$ - и $\{(ad)n\}$ - конфигурациях ядра ${}^7\text{Li}$. Более подробное описание данных конфигураций ядра ${}^7\text{Li}$ было представлено в работах [1;2]. Здесь же поясним, что для построения радиальных волновых функций (ВФ) относительного движения и расчета соответствующих спектроскопических S_n -факторов отделения нейтронов в канале ${}^6\text{Li}+n$ используются три модели (I-III) трехчастичной ВФ ${}^7\text{Li}$ с различными вариантами набора параметров. В связи с этим в дальнейшем будем ссылаться на данные модели как на I(1)-I(2) (конфигурация $\{(dn)\alpha\}$) и II(1)-II(3), III(1)-III(2) (конфигурация $\{(ad)n\}$).

Далее приводятся основные этапы построения ВФ относительного движения в канале ${}^6\text{Li}+n$ с учетом $\{(dn)\alpha\}$ -конфигурации ядра ${}^7\text{Li}$.

Относительные координаты Якоби для канала ${}^7\text{Li}\{(dn)\alpha\} \rightarrow {}^6\text{Li}\{ad\}+n$ представлены на рис. 1.

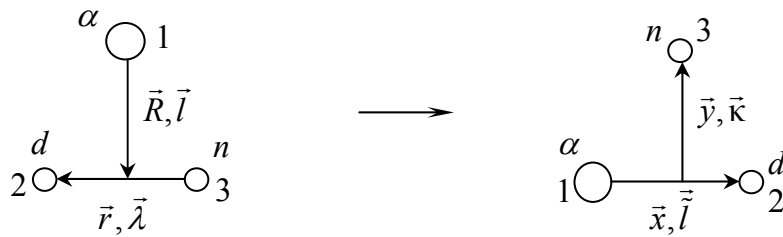


Рис.1. Относительные координаты Якоби для канала ${}^7\text{Li}\{(dn)\alpha\} \rightarrow {}^6\text{Li}\{ad\}+n$

Прямые преобразования относительных координат Якоби при переходе от системы ${}^7\text{Li}\{(dn)\alpha\}$ к системе ${}^6\text{Li}\{ad\}+n$ имеют вид:

$$\begin{cases} \vec{R}_\alpha = \vec{R}_{cm} - \frac{3}{7}\vec{R} \\ \vec{r}_n = \vec{R}_{cm} + \frac{4}{7}\vec{R} - \frac{2}{3}\vec{r} \\ \vec{R}_d = \vec{R}_{cm} + \frac{4}{7}\vec{R} + \frac{1}{3}\vec{r} \end{cases} \Rightarrow \begin{cases} \vec{x} = \vec{R} + \frac{1}{3}\vec{r} \\ \vec{y} = \frac{2}{3}\vec{R} - \frac{7}{9}\vec{r} \\ \vec{R}_{cm} = \vec{R}_{cm} \end{cases}, \quad (1)$$

обратные преобразования координат $\{\vec{x}, \vec{y}\} \Rightarrow \{\vec{r}, \vec{R}\}$:

$$\vec{r} = -\vec{y} + \frac{2}{3}\vec{x}; \quad \vec{R} = \frac{1}{3}\vec{y} + \frac{7}{9}\vec{x}. \quad (2)$$

Далее прокомментируем используемые в расчетах модельные функции. ВФ ядра ${}^7\text{Li}\{(dn)\alpha\}$ имеет вид:

$$\Phi_{7Li} = \Phi_{000}^{\alpha}(1,2,3,4) \chi_{S_{\alpha}M_{S_{\alpha}}T_{\alpha}M_{T_{\alpha}}}^{00,00} \Phi_{000}^d(5,6) \sum_{\substack{M, m, m \\ M_{S_d}, m_n, \mu}} \chi_{\frac{1}{2}m_n}^{(\sigma)}(7) \chi_{\frac{1}{2}, \frac{1}{2}}^{(\tau)}(7) \times \\ \times \chi_{1M_{S_d}}^{(\sigma)}(5,6) \chi_{00}^{(\tau)}(5,6) C_{1M_{S_d}1/2m_n}^{1/2m_n} C_{1M1/2m_n}^{3/2M_i} C_{\lambda\mu lm}^{1M} \Phi_{l,\lambda}(\vec{r}, \vec{R}), \quad (3)$$

где $\Phi_{000}^{\alpha}(1,2,3,4)$, $\Phi_{000}^d(5,6)$ – внутренние ВФ α -частицы и дейтрона соответственно, $\Phi_{l,\lambda}(\vec{r}, \vec{R})$ – ВФ относительного движения α -частицы, дейтрона и нейтрона:

$$\Phi_{l,\lambda}(\vec{r}, \vec{R}) = r^{\lambda} R^l \sum_n C_n e^{-\alpha_n \vec{r}^2} e^{-\beta_n \vec{R}^2} Y_{\lambda\mu}(\Omega_r) Y_{lm}(\Omega_R), \quad (4)$$

коэффициенты C_n , α_n , β_n которой были взяты из работы [1].

ВФ ядра ${}^6\text{Li}\{\alpha d\}$ с полным моментом J и его проекцией M_J :

$$\Psi_{6Li} = \Phi_{000}^{\alpha}(1,2,3,4) \chi^S(\alpha) \chi^T(\alpha) \Phi_{000}^d(5,6) \sum_{M_L, \tilde{m}_n} (\tilde{\lambda} \tilde{\mu} \tilde{S}_d \tilde{M}_{S_d} | JM_J) \times \\ \times \chi_{\tilde{S}_d \tilde{M}_{S_d}}^{(\sigma)}(5,6) \chi_{00}^{(\tau)}(5,6) \sum_i D_i e^{-\gamma_i \vec{x}^2} Y_{00}(\Omega_x), \quad (5)$$

где коэффициенты D_i, γ_i определены согласно работе [3].

Для проектирования ВФ ${}^7\text{Li}\{(dn)\alpha\}$ на канал ${}^6\text{Li}\{\alpha d\} + n$ необходимо вычислить интеграл перекрывания $\langle \Psi_{6Li}, n | \Phi_{7Li} \rangle$. Интегрирование по переменной \vec{x} (рис. 1) приводит к следующему промежуточному результату:

$$\Phi(\vec{y}) = \langle \Psi_{6Li}, n | \Phi_{7Li} \rangle = \sum_{i,n} D_i C_n M^{(\sigma)} M^{(\tau)} Y_{00}(\Omega_r) Y_{00}(\Omega_x) \times \\ \times \sum_{\substack{M_{S_d}, M, m_n \\ m_i, M_{S_d}}} C_{1M_{S_d}1/2m_n}^{1/2m_n} C_{1M1/2m_n}^{3/2M_i} \int \exp(-\alpha_n \vec{r}^2 - \beta_n \vec{R}^2 - \gamma_i \vec{x}^2) \cdot Y_{1M}(\vec{R}) d\vec{x}, \quad (6)$$

Используя преобразования координат (2), квадратичную форму в показателе экспоненты в выражении (6) приводим к следующему виду:

$$\alpha_n \vec{r}^2 + \beta_n \vec{R}^2 + \gamma_i \vec{x}^2 = a_1 \vec{y}^2 + a_2 \vec{y} \vec{x} + a_3 \vec{x}^2, \quad (7)$$

где, $a_1 = \alpha_n + \frac{1}{9} \beta_n$; $a_2 = -\frac{4}{3} \alpha_n + \frac{14}{27} \beta_n$; $a_3 = \frac{4}{9} \alpha_n + \frac{49}{81} \beta_n + \gamma_i$.

Далее заменой переменных $\vec{x} = \vec{x}_1 + \alpha \vec{y}$, $\vec{y} = \vec{y}$, квадратичная форма (7) приводится к диагональному виду $d_1 \vec{y}^2 + d_2 \vec{x}_1^2$, где коэффициенты d_i имеют вид:

$$d_1 = a_1 + a_2 \alpha + a_3 \alpha^2, \quad d_2 = a_3, \quad \alpha = -a_2 / (2a_3). \quad (8)$$

Аналогично преобразуем аргумент векторной сферической функции, входящей в

интеграл выражения (6). Следовательно, получаем:

$$\begin{cases} \bar{x} = \bar{x}_1 + \alpha \bar{y}, \\ \bar{R} = f_1 \bar{x}_1 + f_2 \bar{y}, \end{cases} \quad f_1 = \frac{7}{9}; \quad f_2 = \frac{1}{3} + \frac{7}{9} \alpha. \quad (9)$$

В результате проведенных выше преобразований интеграл в выражении (6) приводится к виду:

$$I(\bar{y}) = \frac{f_2 \pi^{3/2}}{d_2^{3/2}} e^{-d_1 \bar{y}^2} y Y_{1M}(\Omega_y). \quad (10)$$

Спиновый и изоспиновый матричные элементы тривиально сводятся к виду:

$$M^{(\sigma)} = \delta_{m_n \tilde{m}_n} \delta_{M_{S_d} \tilde{M}_{S_d}}, \quad M^{(\tau)} = 1. \quad (11)$$

Таким образом, в результате преобразований (7)–(11) получаем итоговое выражение для функции относительного движения в канале ${}^6\text{Li} + n$:

$$\Phi_1(\bar{y}) = \sum_{i,n} D_i C_n \frac{f_2 \sqrt{\pi}}{4d_2^{3/2}} e^{-d_1 \bar{y}^2} y Y_{1M}(\Omega_y) \sum_{M, m_i} C_{1M_{S_d} 1/2 m_n}^{1/2 M_i} C_{1M 1/2 m_i}^{1/2 M_i}. \quad (12)$$

Выражение для вычисления спектроскопического S_n -фактора отделения нейтронов имеет вид:

$$S_n = \int |\Phi_1(\bar{y})|^2 d\bar{y} = 4 \cdot \int \left| \sum_{i,n} D_i C_n \frac{f_2 \sqrt{\pi}}{4d_2^{3/2}} e^{-d_1 \bar{y}^2} y \right|^2 y^2 dy. \quad (13)$$

Для $\{(ad)n\}$ -конфигурации ядра ${}^7\text{Li}$ функции относительного движения в канале ${}^6\text{Li} + n$ строятся аналогично. Как видно из рис. 2, процедура проектирования явно адаптирована к этому каналу и выбору координат Якоби. Технически расчет интеграла перекрытия становится тривиальным и сводится к элементарному интегрированию по переменной \bar{x} .

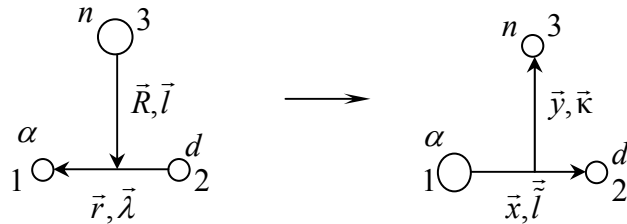


Рис.2. Относительные координаты Якоби для канала ${}^7\text{Li}\{(ad)n\} \rightarrow {}^6\text{Li}\{ad\} + n$

Таким образом, получаем функцию относительного движения для $\{(ad)n\}$ -конфигурации ядра ${}^7\text{Li}$:

$$\Phi_2(\bar{y}) = \sum_{n,i} C_n D_i \frac{\sqrt{\pi}}{4(\alpha_n + \gamma_i)^{3/2}} e^{-\beta_n \bar{y}^2} Y_{1m}(\bar{y}). \quad (14)$$

В таблице 1 приводятся результаты расчетов спектроскопических нейтронных S_n -факторов в канале ${}^6\text{Li} + n$ и соответствующих среднеквадратичных радиусов.

Таблица 1 – Спектроскопический нейтронный S_n -фактор в каналах $\{(dn)\alpha\}$ и $\{(ad)n\}$

Модель	S_n -фактор	Среднеквадратичный радиус, фм [1]
I (1)	0,68231	2,7715
I (2)	0,68230	2,7921
II (1)	0,3997	2,3124
II (2)	0,4515	2,3359
II (3)	0,2723	2,2491
III (1)	0,1936	2,1845
III (2)	0,2611	2,2333

Результаты расчетов радиальных функций относительного движения ${}^6\text{Li} + n$ для моделей I(1) и I(2) представлены на рис. 3.

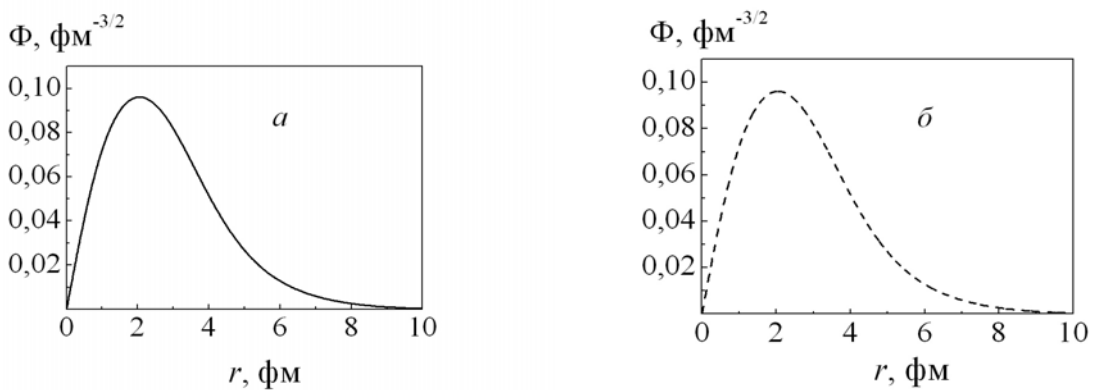


Рис.3. Волновые функции относительного движения ${}^6\text{Li} + n$:
 a – модель I(1); b – модель I(2)

Как видно из рис. 3, функции относительного ${}^6\text{Li} + n$ движения для моделей I(1) и I(2) очень близки по численным значениям и практически совпадают. Это, очевидным образом, объясняет тот факт, что соответствующие спектроскопические факторы совпадают с точностью до 10^{-5} (таблица 1).

На рис. 4 приведены графики волновых функций относительного ${}^6\text{Li} + n$ движения для моделей II и III.

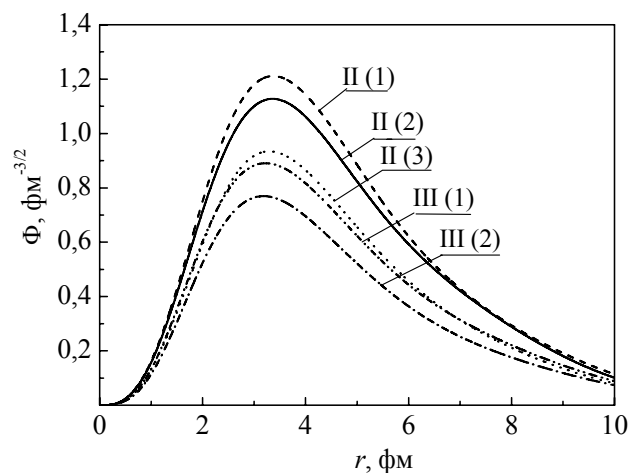


Рис.4. Волновая функция относительного движения ${}^6\text{Li}\{\alpha d\} + n$ для моделей II и III

Как следует из таблицы 1, наблюдается прямая корреляция между среднеквадратичным радиусом системы $\{\alpha dn\}$ и величиной спектроскопического S_n -фактора. Нам представляется, что более реалистические результаты дает модель I, которая соответствует диффузной конфигурации трех кластеров, составляющих ${}^7\text{Li}$. В этой связи можно рекомендовать для моделей II и III подобрать парные потенциалы таким образом, чтобы учесть особую валентную роль нейтрона в конфигурации ${}^6\text{Li}\{\alpha d\} + n$.

Литература

1. Дубовиченко С.Б. Методы расчета ядерных характеристик. Алматы: Комплекс. 2006. 311с.; <http://arxiv.org/abs/1006.4947>.
2. Афанасьева Н.В., Буркова Н.А., Жаксыбекова К.А., Уразалин А.А. Бинарная $\{\alpha t\}$ -компонента в $\{(dn)\alpha\}$ - и $\{(\alpha d)n\}$ -моделях ядра ${}^7\text{Li}$. // Настоящий сборник.
3. Дубовиченко С.Б. Астрофизические S-факторы радиационного ${}^3\text{He}^4\text{He}$, ${}^3\text{H}^4\text{He}$ и ${}^2\text{H}^4\text{He}$ -захвата. // Ядерная физика, 2010, Т. 73, №9, с.1573-1584.

${}^6\text{Li}\{\alpha d\} + n$ КЛАСТЕРЛІ КАНАЛЫНА $\{(dn)\alpha\}$ - ЖӘНЕ $\{(\alpha d)n\}$ - ҮЛГІЛЕРІНДЕГІ ${}^7\text{Li}\{\alpha t\}$ ТОЛҚЫНДЫҚ ФУНКЦИЯСЫН ЖОБАЛАУ

Н.В. Афанасьева, Н.А. Буркова, К.А. Жаксыбекова, А.А.Уразалин

${}^7\text{Li}$ ядросының αdn жобасы негізінде ${}^6\text{Li} + n$ салыстырмалы қозғалысының радиалды толқындық функциялары құрылды және спектроскопиялық S_n -факторлары есептелінді.

PROJECTION OF THE ${}^7\text{Li}$ WAVE FUNCTION IN THE $\{(dn)\alpha\}$ - AND $\{(\alpha d)n\}$ -MODELS ON THE ${}^6\text{Li}\{\alpha d\} + n$ CLUSTER CHANNEL

N.V. Afanasyeva, N.A. Burkova, K.A. Zhaksybekova, A.A.Urazalin

Within the three-body αdn -model for ${}^7\text{Li}$ nucleus the ${}^6\text{Li} + n$ relative-motion wave functions have been obtained and spectroscopic S_n -factors of neutron separation has been calculated.